

STANOVENÍ CHLOROVANÝCH ALIFATICKÝCH UHLOVODÍKŮ V PIVU

Mgr. TOMÁŠ HORÁK, Ing. JIŘÍ ČULÍK, CSc., RNDr. MARIE JURKOVÁ, CSc., Ing. VLADIMÍR KELLNER, CSc.
Pivovarský ústav Praha, VÚPS, a.s.

Klíčová slova: pivo, chlorované alifatické uhlovodíky, headspace analýza, plynová chromatografie

1. ÚVOD

Chlorované alifatické uhlovodíky tvoří významnou skupinu cizorodých látek, jejichž přítomnost může zásadním způsobem ovlivňovat zdravotní nezávadnost potravin. I když se postup výroby piva vyznačuje využíváními a separačními procesy, ve kterých dochází k odstraňování řady potenciálních kontaminantů, takže hotové pivo obsahuje méně škodlivých látek než použité suroviny [1, 2], mohou se chlorované uhlovodíky v pivu přesto objevit. Způsoby, jak se do piva dostanou, jsou v zásadě dva. První je důsledkem kontaminace spodních a povrchových vod v přírodě. Druhým způsobem je vznik těchto látek při technologickém zpracování pitné vody, které má za cíl dosažení mikrobiologické čistoty [3].

K zamezení možných dopadů těchto látek na lidské zdraví stanovuje vyhláška MZd ČR č. 298/1997 Sb. k zákonu č. 110/1997 Sb. o potravinách a tabákových výrobcích platná od 1. 1. 1998 pro nápoje a tedy i pro pivo limitní hodnotu. Ta je definována jako přípustné množství součtu osmi respektive jedenácti chlorovaných alifatických uhlovodíků (včetně polohových izomerů) a představuje hodnotu

70 µg/l. Přehled jednotlivých látek včetně jejich izomerů je uveden v tab. 1.

Těkavé chlorované uhlovodíky lze stanovovat na plynovém chromatografu s kapilární kolonou a s detektorem elektronového záchrty nebo hmotnostně selektivním detektorem pro jednoznačnou identifikaci složek. Předtím je však nutné látky oddělit od matrice. K tomu se používá několik technik: přímá extrakce kapalina-kapalina; otevřená dynamická headspace (záchrty na sorbantu a uvolnění tepelnou desorpci); uzavřená dynamická headspace (záchrty na aktivní uhlí a uvolnění kapalinovou extrakcí) a statická headspace technika [4].

Extrakce do organické fáze, nejčastěji n-pentanu [5], je velmi neselektivní a u matrice, jakou je pivo, je nutné provést ještě přečištění extraktu, při kterém však dochází ke značným ztrátám nejtěkavějších sloučenin. U dynamických headspace metod je největším problémem pěnění piva. Statická headspace se vyznačuje na rozdíl od dynamických metod menší citlivostí, ale i přesto umožňuje stanovit koncentrace plně vyhovující legislativním požadavkům. Její výrazná přednost spočívá v minimálních časových a pracovních náro-

cích na přípravu vzorku a možnosti snadné automatizace [6]. Proto nalezla široké uplatnění při stanovení tohoto typu látek [7, 8, 9].

Princip statické headspace metody je založen na ustavení mezifázové rovnováhy kapalina-pára v septem uzavřené vialce. Distribuce látek mezi těmito dvěma fázemi je závislá na teplotě, parciálním tlaku každé látky, vlivu matrice a poměru objemu plynné a kapalné fáze. Vzhledem k tomu, že do plynné fáze přednostně přecházejí těkavé látky, dochází tak k určité formě čištění vzorku. Další výhodou tohoto postupu je skutečnost, že se na kolonu plynového chromatografu nastrikuje vzorek odebraný z plynné fáze, a tak se snižuje kontaminace kolony a detektoru a minimalizují se chromatografické interference [10].

Účelem této práce bylo optimalizovat a validovat metodu statické headspace techniky pro stanovení chlorovaných alifatických uhlovodíků v pivu dle požadavků legislativních předpisů ČR.

2. EXPERIMENTÁLNÍ ČÁST

2.1. Použité chemikálie, standardy

aceton p.a., ethanol p.a. – Lachema, ČR; ult-

Tab. 1 Přehled chlorovaných alifatických uhlovodíků včetně polohových izomerů požadovaných vyhláškou MZd ČR č. 298/1997 Sb. k zákonu č. 110/1997 Sb. o potravinách a tabákových výrobcích

| Látka | Systematický název |
|-------------------|-------------------------|
| dichlormethan | dichlormethan |
| dichlorethan | 1,1-dichlorethan |
| | 1,2-dichlorethan |
| chloroform | trichlormethan |
| trichlorethan | 1,1,1-trichlorethan |
| | 1,1,2-trichlorethan |
| trichloethylen | 1,1,2-trichloethen |
| tetrachlorethylen | 1,1,2,2-tetrachloethen |
| tetrachlormethan | tetrachlormethan |
| tetrachlorethan | 1,1,1,2-tetrachlorethan |
| | 1,1,2,2-tetrachlorethan |

racistá voda – Milli-RO 5plus – Millipore, USA; dusík v kvalitě ECD – MGO, ČR; dichlormethan, trichlormethan, tetrachlormethan, 1,1,2-trichlorethen, 1,1,2,2-tetrachlorethen – Merck, SRN; 1,1-dichlorethan – Supelco, USA; 1,2-dichlorethan, 1,1,1-trichlorethan, 1,1,2-trichlorethan, 1,1,1,2-tetrachlorethan, 1,1,2,2-tetrachlorethan – Aldrich, USA.

Zásobní roztok standardů byl připraven navázéním a rozpuštěním přibližně 0,2 g každé látky do 50 ml ethanolu. Pracovní roztoky byly připraveny 400násobným respektive 4000násobným ředěním zásobního roztoku. Jednotlivé kalibrační standardy byly připravovány v den měření rozpuštěním 10 – 150 µl pracovního roztoku v 10 ml 4% ethanolu v ultračisté vodě.

2.2. Podmínky stanovení

Plynový chromatograf: Carlo Erba 5300 Mega series
Kolona: J&W DB 624, délka 60 m, průměr 0,32 mm, tloušťka filmu 1,8 µm
Průtok nosného plynu (dusík): 1,8 ml/min.
Detektor: ECD
Teplota detektoru: 310 °C
Teplota injektoru: 260 °C
Nástrík: split 1:10
Teplotní program: 50 °C (prodleva 5 min), 10 °C/min do 60 °C (prodleva 0 min), 8 °C/min do 150 °C (prodleva 0 min), 30 °C/min do 250 °C (prodleva 5 min)
Headspace dávkovač: Dani HSS 3950
Doba temperace vzorku: 10 – 120 min (viz kap. 3.1)

Tab. 3 Vliv teploty temperace na odezvu

| Analyt | Relativní odezva (%) při teplotě temperace | | | | | |
|-------------------------|--|-------|-------|-------|-------|-------|
| | 30 °C | 40 °C | 50 °C | 60 °C | 70 °C | 80 °C |
| dichlormethan | 19 | 38 | 100 | 99 | 97 | 93 |
| 1,1-dichlorethan | 17 | 47 | 100 | 108 | 105 | 101 |
| 1,2-dichlorethan | 29 | 47 | 100 | 84 | 84 | 71 |
| trichlormethan | 39 | 57 | 100 | 92 | 88 | 80 |
| 1,1,1-trichlorethan | 42 | 60 | 100 | 93 | 90 | 84 |
| 1,1,2-trichlorethan | 28 | 82 | 100 | 109 | 101 | 81 |
| 1,1,2-trichlorethen | 31 | 61 | 100 | 89 | 85 | 82 |
| 1,1,2,2-tetrachloethen | 36 | 74 | 100 | 90 | 103 | 103 |
| tetrachlormethan | 35 | 56 | 100 | 90 | 86 | 84 |
| 1,1,1,2-tetrachlorethan | 21 | 52 | 100 | 90 | 87 | 85 |
| 1,1,2,2-tetrachlorethan | 25 | 59 | 100 | 83 | 81 | 81 |
| průměrná odezva | 29 | 58 | 100 | 93 | 91 | 86 |

Tab. 2 Vliv délky doby temperace na odezvu

| Analyt | Relativní odezva (%) při době temperace | | | | |
|-------------------------|---|--------|--------|--------|---------|
| | 10 min | 20 min | 30 min | 60 min | 120 min |
| dichlormethan | 54 | 69 | 71 | 84 | 100 |
| 1,1-dichlorethan | 46 | 58 | 65 | 87 | 100 |
| 1,2-dichlorethan | 57 | 79 | 79 | 106 | 100 |
| trichlormethan | 58 | 74 | 73 | 98 | 100 |
| 1,1,1-trichlorethan | 78 | 83 | 77 | 91 | 100 |
| 1,1,2-trichlorethan | 113 | 87 | 95 | 102 | 100 |
| 1,1,2-trichloethen | 52 | 61 | 67 | 74 | 100 |
| 1,1,2,2-tetrachloethen | 83 | 90 | 96 | 92 | 100 |
| tetrachlormethan | 86 | 88 | 89 | 93 | 100 |
| 1,1,1,2-tetrachlorethan | 57 | 76 | 86 | 80 | 100 |
| 1,1,2,2-tetrachlorethan | 90 | 93 | 102 | 103 | 100 |
| průměrná odezva | 70 | 78 | 82 | 92 | 100 |

Teplota lázně: 50 – 80 °C (viz kap. 3.2)

Teplota propojení: 100 °C

Objem nástríku: 1 ml

Objem vzorku: viz kap. 3.4

Podmínky dávkování vzorku: viz kap. 3.5

Objem vzorkovacích vialek: 20 ml

3. OPTIMALIZACE METODY

Všechny pokusy uskutečněny za účelem nalézt nejvhodnější podmínky stanovení byly prováděny na modelovém vzorku 4% ethanolu ve vodě, který obsahoval směs všech sledovaných látek o koncentraci přibližně 10 µg/l.

3.1. Vliv délky doby temperace vzorku

Vzorky byly ponechány v termostatu o teplotě 70 °C po dobu 10, 20, 30, 60 a 120 minut. Dle očekávání rostla se vzhůstající doba temperace odezva detektoru (tab. 2).

Vzhledem k tomu, že doba jednoho chromatografického cyklu včetně zchlazení kolo-nového termostatu se pohybuje okolo 28 minut, je výhodné pro sériová stanovení doporučit dobu temperace 30 minut. Při této době se sice nedosáhne nejvyšší odezvy, ale hodnotu průměrné odezvy látek, která činí 82 % vzhledem k odezvě naměřené při době temperace 120 minut, je možné považovat za uspokojující při významné úspore času.

3.2. Vliv teploty temperace

Závislost odezvy na teplotě lázně, ve které byl vzorek temperován po dobu 30 min, byla měřena při teplotách 30 °C, 40 °C, 50 °C, 60 °C, 70 °C a 80 °C.

Jak vyplývá z tab. 3, z počátku v souladu s očekáváním odezva stoupala s rostoucí teplotou temperace, a to až do teploty 50 °C. Při této teplotě bylo překvapivě dosaženo nejvyšší průměrné odezvy. Tuto skutečnost je možné pravděpodobně vysvětlit tím, že s dálou se zvyšující teplotou vzniká parciální tlak vodní páry, což negativně ovlivňuje odezvu detektoru elektronového záchrty.

3.3. Vliv vysolovacího efektu

Posunutí fázové rovnováhy ve prospěch plynné fáze lze docílit přidavkem solí anorganických kyselin. Z tohoto důvodu bylo testováno vysolování vzorků chloridem amonným, síranem amonným a chloridem sodným, a to při přidavku 2,5 g, 5 g a 7,5 g soli do 10 ml modelového vzorku. Vzorky byly temperovány po dobu 30 minut při teplotě 50 °C. Výsledky jsou uvedeny v tab. 4.

Chlorid amonný se jeví o něco méně účinný než chlorid sodný nebo síran amonný, ale prakticky jsou účinky všech typů solí srovnatelné a zvyšují průměrnou odezvu v závislosti na přidaném množství o 20 až 110 %. Odezva stoupá také s rostoucím obsahem soli ve vzorku a při použití 7,5 g síranu amonného je možné průměrnou odezvu zvýšit více než dvakrát.

Pro měření velmi nízkých koncentrací chlorovaných alifatických uhlovodíků lze doporučit vysolení vzorku pomocí 7,5 g síranu amonného. Pro běžné analýzy na základě požadavků legislativních předpisů však vzhledem k dostatečné citlivosti metody (viz kap. 6.2) není nutné vysolování používat, což přispívá k jednoduchosti přípravy vzorků.

3.4. Vliv velikosti objemu vzorku

Změna odezvy detektoru v závislosti na stoupajícím objemu vzorku (5, 10 a 15 ml) ve vialce o celkovém objemu 20 ml byla měřena po 30minutové temperaci v termostatu o teplotě 50 °C bez použití vysolování. Výsledky jsou uvedeny v tab. 5.

S rostoucím množstvím vzorku se sice zvyšuje odezva detektoru, ale již 5 ml vzorku vyzkazuje průměrnou relativní odezvu 65 %, což je mnohem více než jedna třetina ze 100% odezvy pro 15 ml vzorku. Tuto skutečnost lze vysvětlit tím, že s rostoucím objemem vzorku se zmenšuje objem plynné fáze v prostoru nad vzorkem, a tak dochází k nepříznivému ovlivnění ustavení mezifázové rovnováhy kapalina-

Tab. 4 Vliv vysolovacího efektu na odezvu

| Analyt | Relativní odezva (%) podle druhu a množství přidané soli | | | | | | | | | |
|-------------------------|--|----------------|-------|-------|--------------|-------|-------|---------------|-------|-----|
| | bez soli | chlorid amonný | | | síran amonný | | | chlorid sodný | | |
| | 2,5 g | 5,0 g | 7,5 g | 2,5 g | 5,0 g | 7,5 g | 2,5 g | 5,0 g | 7,5 g | |
| dichlormethan | 100 | 84 | 82 | 89 | 107 | 120 | 172 | 92 | 119 | 127 |
| 1,1-dichlorethan | 100 | 128 | 142 | 133 | 164 | 272 | 305 | 143 | 192 | 211 |
| 1,2-dichlorethan | 100 | 133 | 131 | 151 | 198 | 232 | 311 | 168 | 190 | 226 |
| trichlormethan | 100 | 148 | 155 | 157 | 181 | 143 | 248 | 150 | 173 | 228 |
| 1,1,1-trichlorethan | 100 | 121 | 133 | 144 | 130 | 117 | 187 | 123 | 132 | 151 |
| 1,1,2-trichlorethan | 100 | 82 | 104 | 120 | 102 | 116 | 126 | 110 | 99 | 131 |
| 1,1,2-trichloethen | 100 | 123 | 137 | 144 | 144 | 124 | 219 | 140 | 147 | 180 |
| 1,1,2,2-tetrachloethen | 100 | 104 | 108 | 114 | 116 | 123 | 145 | 103 | 107 | 125 |
| tetrachlormethan | 100 | 114 | 123 | 132 | 119 | 113 | 156 | 113 | 120 | 133 |
| 1,1,1,2-tetrachlorethan | 100 | 98 | 110 | 106 | 122 | 163 | 227 | 146 | 139 | 178 |
| 1,1,2,2-tetrachlorethan | 100 | 179 | 146 | 173 | 246 | 240 | 236 | 276 | 250 | 265 |
| průměrná odezva | 100 | 119 | 125 | 133 | 148 | 160 | 212 | 142 | 152 | 178 |

Tab. 5 Vliv velikosti objemu vzorku na odezvu

| Analyt | Relativní odezva (%) při objemu vzorku | | |
|-------------------------|--|-------|-------|
| | 5 ml | 10 ml | 15 ml |
| dichlormethan | 66 | 80 | 100 |
| 1,1-dichlorethan | 40 | 68 | 100 |
| 1,2-dichlorethan | 77 | 95 | 100 |
| trichlormethan | 54 | 75 | 100 |
| 1,1,1-trichlorethan | 55 | 80 | 100 |
| 1,1,2-trichlorethan | 101 | 107 | 100 |
| 1,1,2-trichlorethen | 51 | 71 | 100 |
| 1,1,2,2-tetrachlorethen | 56 | 72 | 100 |
| tetrachlormethan | 60 | 82 | 100 |
| 1,1,1,2-tetrachlorethan | 83 | 75 | 100 |
| 1,1,2,2-tetrachlorethan | 77 | 78 | 100 |
| průměrná odezva | 65 | 80 | 100 |

-pára. Tento jev se zřejmě nejvíce uplatňuje u nejméně těkavých látek.

Vzhledem k tomu, že při dávkování vzorku do vialky může docházet k pěnění piva, za doporučené množství vzorku pro běžné analýzy byl zvolen objem 10 ml.

3.5. Vliv různých podmínek dávkování vzorku

Headspace dávkovač Dani umožňoval měnit tyto parametry dávkování vzorku na kolonu plynového chromatografu: dobu tlakování vialky nosným plynem (press); dobu, během které se plnila dávkovací smyčka (vent) a dobu, po kterou byl objem smyčky vyplachován na chromatografickou kolonu (valve). Tyto parametry byly měněny v rozsahu 5 až 20 sekund. Vzorky o objemu 10 ml byly měřeny po 30 minutové temperaci v termostatu o teplotě 50 °C bez použití vysolování. Výsledky měření jsou shrnutý v tab. 6.

Nejvyšší průměrné relativní odezvy bylo dosaženo při nejkratší době 5 sekund. Zvětšení časového intervalu vede k poklesu průměrných relativních odezv, který se však s dalším časovým prodlužováním již prakticky nemění. Pokles průměrných relativních odezv je pravděpodobně způsoben jednak zvýšením celkového tlaku ve vialce, který nepřiznivě ovlivňuje parciální tlaky jednotlivých látek, a jednak s rostoucím přetlakováním dochází k následnému úniku plynné fáze dělícím ventilem

z dávkovací smyčky ještě před vstupem na kolonu. Zastavení poklesu průměrné relativní odezvy se zvětšováním časového intervalu lze vysvětlit tím, že asi po 10 sekundách tlakování se zřejmě tlak ve vialce vyrovná tlaku pomocného plynu použitého k tlakování, a tak nedochází k dalšímu zvětšování přetlaku.

Pro parametry dávkování vzorků dávkovačem Dani byl zvolen časový interval 5 sekund.

4. ZVOLENÉ PODMÍNKY HEADSPACE TECHNIKY

Na základě výše popsánych experimentů byly pro stanovení chlorovaných alifatických uhlovodíků v pivu na headspace dávkovači Dani zvoleny tyto podmínky měření:

doba temperace vzorku: 30 min

teplota lázně: 50 °C

bez vysolování

objem vzorku: 10 ml

podmínky dávkování vzorku: press 5 s, vent 5 s, valve 5 s

5. ROBUSTNOST METODY

5.1. Vliv ethanolu

Vzhledem k tomu, že obsah alkoholu v pivu se může pohybovat od 0 do 8 % obj., byl zjištován vliv množství ethanolu na velikost odezvy ECD detektoru. Pokusy byly měřeny s různým koncentrovanými roztoky ethanolu ve vodě. Výsledky jsou uvedeny v tab. 7.

Vyplývá z nich, že relativní směrodatná odchylka všech látek s výjimkou dichlormethanu je menší než relativní směrodatná odchylka metody naměřená na reálných vzorcích piv (viz. kap. 6.2). Průměrná relativní odezva se s různým obsahem ethanolu prakticky nemění.

Obsah ethanolu do 10 % obj. tedy neovlivňuje stanovení chlorovaných alifatických uhlovodíků v pivu.

5.2. Vliv operátora

Některé chlorované alifatické uhlovodíky – např. dichlormethan, 1,1-dichlorethan, chloroform – se vyznačují velkou těkavostí [11], což klade zvýšené nárok na jejich správné stanovení. Vzhledem k tomu, že vlastní headspace technika je automatizována a přesnost je dána použitou instrumentací, kritickými kroky, které může ovlivnit operátor, jsou příprava standardu a manipulace se vzorkem před umístěním do headspace dávkovače. Pro ověření vlivu lidského faktoru byla testována závislost odezvy detektoru na přípravě kalibračního standardu osmi různými operátory. Všichni účastníci testu měli zkušenosti s laboratorní činností,

Tab. 7 Vliv ethanolu na odezvu detektoru (RSD – relativní směrodatná odchylka)

| Analyt | Relativní odezva (%) při obsahu ethanolu | | | | | RSD |
|-------------------------|--|----------|----------|----------|-----------|-----|
| | 0 % obj. | 2 % obj. | 4 % obj. | 6 % obj. | 10 % obj. | |
| dichlormethan | 100 | 94 | 100 | 114 | 126 | 12 |
| 1,1-dichlorethan | 100 | 106 | 99 | 101 | 91 | 5,3 |
| 1,2-dichlorethan | 100 | 100 | 102 | 101 | 95 | 2,9 |
| trichlormethan | 100 | 97 | 97 | 100 | 94 | 2,7 |
| 1,1,1-trichlorethan | 100 | 99 | 100 | 101 | 94 | 2,6 |
| 1,1,2-trichlorethan | 100 | 107 | 114 | 103 | 108 | 5,9 |
| 1,1,2-trichlorethen | 100 | 100 | 102 | 101 | 94 | 3,4 |
| 1,1,2,2-tetrachlorethen | 100 | 104 | 105 | 105 | 96 | 3,8 |
| tetrachlormethan | 100 | 98 | 95 | 100 | 87 | 5,7 |
| 1,1,1,2-tetrachlorethan | 100 | 116 | 111 | 136 | 107 | 6,4 |
| 1,1,2,2-tetrachlorethan | 100 | 89 | 82 | 104 | 107 | 9,6 |
| průměrná odezva | 100 | 101 | 101 | 106 | 100 | |

z toho pět z nich tuto nebo obdobnou činnost provádělo rutinně. Výsledky jsou shrnutý v tab. 8.

Pro skupinu všech osmi operátorů dosažuje průměr relativní směrodatné odchylky vysoké hodnoty 37 %, přičemž pro tři látky přesahuje relativní směrodatná odchylka hodnotu 40 % a pro jednu látku dokonce 50 %. Podstatně příznivějších výsledků bylo dosaženo u těch pracovníků, kteří tuto nebo podobnou činnost provádějí rutinně. U této skupiny je relativní směrodatná odchylka pouze u dvou látek větší než 20 %, ale vždy menší než 30 %, průměr této veličiny činí 17 %. K dosažení co nejlepších výsledků je tedy nutné, aby přípravu standardů a vzorků prováděli pouze zaškolení a zkušení operátoři.

6. VALIDACE METODY

6.1. Kalibrační křivky

Pro všechny sledované látky byla proměřena 11bodová kalibrační křivka v přibližném rozsahu koncentrací 0,1 až 150 µg/l pro každou sloučeninu. Vzhledem k omezené linearitě detektoru ECD byl celý koncentrační rozsah rozdělen na oblast nízkých (0,1–2,5 µg/l) a vysokých (2,5–150 µg/l) koncentrací. Typ regrese a korelační koeficienty jsou uvedeny v tab. 9.

Kromě trichlormethanu v oblasti nízkých koncentrací a tetrachlormethanu v oblasti vysokých koncentrací jsou hodnoty korelačních

Tab. 6 Vliv různých podmínek dávkování vzorku dávkovačem Dani na odezvu (press – doba tlakování, vent – doba plnění smyčky, valve – doba vyplachování smyčky na kolonu)

| Analyt | Relativní odezva (%) při době otevření | | | | |
|-------------------------|--|---------------------------------------|---------------------------------------|---------------------------------------|---------------------------------------|
| | press 5 s vent 5 s valve 5 s | press 10 s vent 16 s valve 16 s | press 10 s vent 10 s valve 10 s | press 15 s vent 15 s valve 15 s | press 20 s vent 20 s valve 20 s |
| dichlormethan | 100 | 70 | 74 | 63 | 69 |
| 1,1-dichlorethan | 100 | 24 | 29 | 27 | 24 |
| 1,2-dichlorethan | 100 | 106 | 104 | 92 | 94 |
| trichlormethan | 100 | 65 | 77 | 65 | 66 |
| 1,1,1-trichlorethan | 100 | 80 | 89 | 83 | 84 |
| 1,1,2-trichlorethan | 100 | 132 | 87 | 72 | 76 |
| 1,1,2-trichlorethen | 100 | 68 | 78 | 74 | 73 |
| 1,1,2,2-tetrachlorethen | 100 | 79 | 89 | 86 | 84 |
| tetrachlormethan | 100 | 85 | 93 | 86 | 87 |
| 1,1,1,2-tetrachlorethan | 100 | 82 | 71 | 60 | 70 |
| 1,1,2,2-tetrachlorethan | 100 | 71 | 50 | 60 | 55 |
| průměrná odezva | 100 | 78 | 76 | 70 | 71 |

Tab. 8 Relativní směrodatná odchylka (RSD) odezvy detektoru ECD při přípravě kalibračního standardu o koncentraci okolo 10 µg/l každé látky dvěma skupinami operátorů

| Analyt | Všichni operátoři RSD (%) | Rutinní operátoři RSD (%) |
|-------------------------|---------------------------|---------------------------|
| dichlormethan | 37 | 16 |
| 1,1-dichlorethan | 45 | 24 |
| 1,2-dichlorethan | 27 | 15 |
| trichlormethan | 42 | 15 |
| 1,1,1-trichlorethan | 32 | 15 |
| 1,1,2-trichlorethan | 42 | 18 |
| 1,1,2-trichlorethen | 35 | 15 |
| 1,1,2,2-tetrachlorethen | 29 | 15 |
| tetrachlormethan | 28 | 12 |
| 1,1,1,2-tetrachlorethan | 32 | 11 |
| 1,1,2,2-tetrachlorethan | 58 | 27 |
| průměrný RSD | 37 | 17 |

Tab. 9 Typ regrese a korelační koeficienty pro kalibraci chlorovaných alifatických uhlovodíků

| Analyt | Oblast nízkých koncentrací (0,1–2,5 µg/l) | | Oblast vysokých koncentrací (2,5–120 µg/l) | |
|-------------------------|---|----------------------|--|----------------------|
| | typ regrese | korelační koeficient | typ regrese | korelační koeficient |
| dichlormethan | polynom 2.ř. | 0,998 | polynom 2.ř. | 0,997 |
| 1,1-dichlorethan | polynom 2.ř. | 0,998 | polynom 2.ř. | 0,999 |
| 1,2-dichlorethan | polynom 2.ř. | 0,998 | polynom 2.ř. | 0,999 |
| trichlormethan | polynom 2.ř. | 0,987 | polynom 2.ř. | 0,999 |
| 1,1,1-trichlorethan | lineární | 0,999 | polynom 2.ř. | 0,995 |
| 1,1,2-trichlorethan | polynom 2.ř. | 0,997 | polynom 2.ř. | 0,999 |
| 1,1,2-trichlorethen | polynom 2.ř. | 0,993 | polynom 2.ř. | 0,993 |
| 1,1,2,2-tetrachlorethen | polynom 2.ř. | 0,998 | polynom 2.ř. | 0,998 |
| tetrachlormethan | polynom 2.ř. | 0,999 | polynom 2.ř. | 0,985 |
| 1,1,1,2-tetrachlorethan | polynom 2.ř. | 0,993 | polynom 2.ř. | 0,993 |
| 1,1,2,2-tetrachlorethen | polynom 2.ř. | 0,994 | polynom 2.ř. | 0,999 |

koeficientů větší než 0,990, což umožňuje sledované látky měřit v širokém rozsahu koncentrací.

6.2. Parametry metody

Charakteristika zvolené headspace metody (viz kap. 4) je shrnuta v tab. 10.

Výtežnost a relativní směrodatná odchylka stanovení byly určeny z deseti přesných přidavků ethanolového roztoku standardů do reálného vzorku piva na dvou koncentračních hladinách – přibližně 1 µg/l a 10 µg/l pro každý analyt. Pro zjištění matričního vlivu bylo provedeno deset měření jednak na jednom vzorku výčepního světlého piva a jednak na deseti vzorcích různých piv (3 světlá výčepní pivo, 1 tmavé výčepní pivo, 4 světlé ležáky, 1 ovocné pivo, 1 speciální 16 % světlé pivo). Výsledky po odečtení slepého pokusu pro každé pivo jsou uvedeny v tab. 10.

Na koncentrační hladině okolo 1 µg/l vyzkoušela výtežnost pro všechny látky v průměru hodnotu 97 % pro jeden vzorek a 102 % pro

deset různých vzorků. Při koncentraci přibližně 10 µg/l se výtežnost pohybuje v průměru okolo hodnoty 84 % pro jeden druh vzorku a 72 % pro deset různých vzorků. Se vztujiče obsahem látek ve vzorku dochází k poklesu výtežnosti, ale přesto je možné dosažené hodnoty považovat za dostačující.

V souladu s očekáváním relativní směrodatná odchylka nabývá vyšších hodnot na koncentrační hladině okolo 1 µg/l, protože tato koncentrace se pohybuje u meze stanovení analytů (viz tab. 10). Důležitým poznatkem je skutečnost, že vliv matrice nezvyšuje výrazným způsobem hodnotu relativní směrodatné odchylky. Výsledky vykazují též pro všechny měřené látky hodnoty směrodatné odchylky menší než 30 %. Průměrná hodnota pro hladinu 1 µg/l činí 17 % pro jeden vzorek a 19 % pro deset různých vzorků. Pro hladinu 10 µg/l jsou tyto průměry 8,5 % a 12 %.

Vzhledem k tomu, že jde o stopovou analýzu, získané hodnoty relativní směrodatné odchylky představují uspokojující výsledky.

Meze detekce (LD) a meze stanovení (LS) byly určeny z měření deseti různých piv o minimálním obsahu sledovaných látek, a to podle vztahů

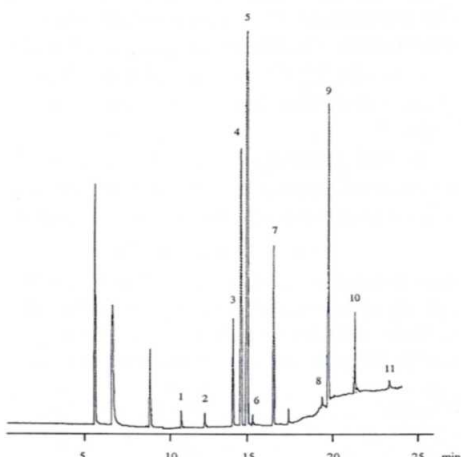
$$LD = c + 2,82 \times s$$

$$LS = 10 \times s,$$

kde c je průměrná koncentrace látky, s je směrodatná odchylka [12,13].

Meze detekce a stanovení se pohybují v desetinách mikrogramů na litr piva s výjimkou dichlormethanu, 1,1,2-trichlorethanu a 1,1,2,2-tetrachlorethanu, kde představují jednotky mikrogramů. Pro požadavky legislativních předpisů jsou tyto výsledky zcela dostatečné.

Chromatografický záznam světlého výčepního piva obohaceného chlorovanými alifatickými uhlovodíky o koncentraci přibližně 10 µg/l každého analytu získaný na koloně DB 624 o délce 60 m, průměru 0,32 mm, tloušťce filmu 1,8 µm a s detektorem ECD: 1 – dichlormethan; 2 – 1,1-dichlorethan; 3 – chloroform; 4 – 1,1,1-trichlorethan; 5 – tetrachlormethan; 6 – 1,2-dichlorethan; 7 – 1,1,2-trichlorethan; 8 – 1,1,2-trichlorethan; 9 – tetrachlorethan; 10 – 1,1,1,2-tetrachlorethan; 11 – 1,1,2,2-tetrachlorethan



Obr. 1 Chromatogram reálného vzorku světlého výčepního piva obohaceného chlorovanými alifatickými uhlovodíky o koncentraci přibližně 10 µg/l každého analytu získaný na koloně DB 624 o délce 60 m, průměru 0,32 mm, tloušťce filmu 1,8 µm a s detektorem ECD: 1 – dichlormethan; 2 – 1,1-dichlorethan; 3 – chloroform; 4 – 1,1,1-trichlorethan; 5 – tetrachlormethan; 6 – 1,2-dichlorethan; 7 – 1,1,2-trichlorethan; 8 – 1,1,2-trichlorethan; 9 – tetrachlorethan; 10 – 1,1,1,2-tetrachlorethan; 11 – 1,1,2,2-tetrachlorethan

Tab. 10 Charakteristiky metody pro stanovení chlorovaných alifatických uhlovodíků v pivu získané z měření jednoho piva a z deseti různých piv

| Analyt | Hladina 1 µg/l | | | | Hladina 10 µg/l | | | | Mez. detekce (µg/l) | Mez. stanovení (µg/l) |
|-------------------------|----------------|---------------|----------------------|-----------------------|-----------------|---------------|----------------------|-----------------------|---------------------|-----------------------|
| | výtežnost (%) | výtežnost (%) | RSD [*] (%) | RSD ^{**} (%) | výtežnost (%) | výtežnost (%) | RSD [*] (%) | RSD ^{**} (%) | | |
| dichlormethan | 129 | 120 | 13 | 11 | 83 | 86 | 9,5 | 11 | 1,4 | 1,6 |
| 1,1-dichlorethan | 101 | 125 | 27 | 15 | 98 | 83 | 7,1 | 8,3 | 0,3 | 0,6 |
| 1,2-dichlorethan | 96 | 154 | 5,5 | 11 | 101 | 78 | 3,7 | 5,9 | 0,1 | 0,3 |
| trichlormethan | 83 | 97 | 5,4 | 10 | 72 | 63 | 5,5 | 9,9 | 0,3 | 0,5 |
| 1,1,1-trichlorethan | 112 | 86 | 8,3 | 11 | 99 | 78 | 3,9 | 6,0 | 0,1 | 0,3 |
| 1,1,2-trichlorethan | 59 | 74 | 20 | 35 | 42 | 56 | 12 | 19 | 0,8 | 1,3 |
| 1,1,2-trichlorethen | 80 | 64 | 15 | 9,8 | 89 | 64 | 9,1 | 9,7 | 0,2 | 0,5 |
| 1,1,2,2-tetrachlorethen | 145 | 139 | 18 | 29 | 98 | 86 | 2,4 | 14 | 0,4 | 0,9 |
| tetrachlormethan | 87 | 113 | 27 | 22 | 69 | 68 | 9,9 | 8,4 | 0,4 | 0,9 |
| 1,1,1,2-tetrachlorethan | 82 | 92 | 26 | 34 | 88 | 67 | 13 | 18 | 0,2 | 0,5 |
| 1,1,2,2-tetrachlorethan | 97 | 63 | 22 | 23 | 84 | 59 | 17 | 25 | 1,7 | 2,8 |

*) jeden stejný vzorek světlého výčepního piva; **) deset vzorků různých piv

jednotek µg/l piva při průměrné hodnotě relativní směrodatné odchylky menší než 30 %, což umožňuje s rezervou vyhovět legislativním předpisům.

Cenným poznatkem je skutečnost, že přenosnost výsledků není ovlivněna různým obsahem alkoholu v pivu. Vzorky různých piv s rozdílným množstvím alkoholu je možné vyhodnocovat na jeden společný kalibrační standard. Na druhé straně výsledky mohou být značně ovlivněny způsobem manipulace se vzorkem a přípravou standardů, proto by tyto úkony měly provádět jen zaškolení a zruční operátoři.

Vzhledem k rychlé a jednoduché přípravě vzorku k měření lze uvedenou headspace metodu ve spojení s plynovou chromatografií doporučit pro potřeby běžné kontroly v pivovarství.

LITERATURA

- KELLNER, V.: Kvasny Prum. **40**, 1994, s. 42
- BASAŘOVÁ, G., HLAVÁČEK, I.: České pivo, Nuga, Pacov, 1998, s. 124
- ČULÍK, J., et al.: Kvasny Prum. **41**, 1995, s. 105.
- Metodická příručka pro stanovení ukazatelů znečištění vod, Ministerstvo životního prostředí, Praha, 1993, s 75
- REUNANEN, M., KRONELD, R.: J. Chromatogr. Sci. **20**, 1982, s. 449
- KELLNER, V. et al.: Výzkum cizorodých látek, (Průběžná zpráva výzkumného úkolu 07). VÚPS, Praha 1992
- Methods for Organic Chemical Analysis of Municipal and Industrial Wastewater – Purgeable Halocarbons, Code of Federal Regulations EPA, EPA method 601 Revision 0, 1991
- German standard methods for determination of water, waste water and sludge. Determination of easily volatile halogenated hydrocarbons by headspace chromatography, DIN 38407-5, 1991
- Water quality – Determination of highly volatile halogenated hydrocarbons by – Gas chromatography methods, DIN EN 30301, 1994
- DIETZ, E., SINGLEY, K., F.: Anal. Chem. **51**, 1979, s. 1809
- The Merck Index, Ninth Edition, Merck & Co., Inc., 1976, s. 272, 501, 791
- LUŇÁK, J., BAUDYŠ, P.: Statistické výpočty v analytické laboratoři, ČZPL, Hradec Králové, 1995, s. 3,4
- ANDĚL, J.: Matematická statistika, SNTL, Praha, 1985, s. 326
- Lektoroval doc. Ing. Jaroslav Čepička, CSc. Do redakce došlo 1. 7. 1999

7. ZÁVĚR

Na základě provedených experimentů byly navrženy tyto parametry headspace techniky: doba temperace vzorku, teplota lázně, způsob vysolování, objem vzorku a způsob dávkování. Při dodržení zvolených hodnot těchto parametrů je možné stanovit všechny sledované látky v množstvích okolo desetin respektive